

Introducción a la Inteligencia Artificial  
Clase 7



# Índice Clase 7.

## 1. Continuación PCA

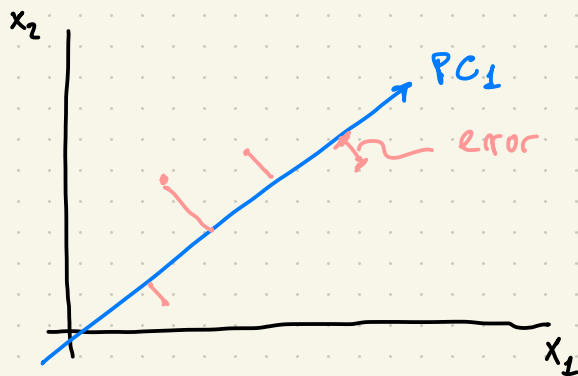
Minimización error de representación

## 2. Modelos de mixtura

- Mixtura Gaussiana

## Segunda Forma de derivación de PCA:

### Minimización del error de reducción:



Si proyectamos un pto. sobre una dirección de la reconstrucción vamos a poder definir la posición del pto  $\tilde{p}$

$p_i$  : pto. original

$\tilde{p}_i$  : pto. proyectado

} Vamos a minimizar  $\|p_i - \tilde{p}_i\|$

Vamos a suponer  $\exists$  B base **orthonormal** de  $\mathbb{R}^D$  con esto decimos que  $\forall x \in \mathbb{R}^D$  podemos asegurar:

$$\vec{x} = \sum_{d=1}^D \alpha_d \cdot \bar{b}_d = \underbrace{\sum_{i=1}^M \alpha_i \bar{b}_i}_{\tilde{x}} + \sum_{d=M+1}^D \alpha_d \bar{b}_d$$

queremos encontrar  $\tilde{x} = \sum_{i=1}^m \alpha_i \cdot \bar{b}_i \in U \subseteq \mathbb{R}^D$  tal que podamos maximizar la similitud entre  $\tilde{x}$  y  $x$ :

$$\tilde{x} = \sum_{i=1}^m \tilde{z}_i b_i = \bar{B} \cdot \tilde{z}$$

buscamos minimizar el MSE  $\|x - \tilde{x}\|^2$ :

①. optimizar  $\tilde{z}_n$  para una dada base.

②. encontrar una base óptima.

$$J_M = \frac{1}{N} \sum_{i=1}^N \|x_n - \tilde{x}_n\|^2$$

$$\frac{\partial J_M}{\partial \tilde{z}_{in}} = \frac{\partial J_M}{\partial \tilde{x}_n} \cdot \frac{\partial \tilde{x}_n}{\partial \tilde{z}_{in}}$$

$$= \left( -\frac{2}{N} \cdot (x_n - \tilde{x}_n)^t \right) \cdot \left( \frac{\partial \tilde{x}_n}{\partial \tilde{z}_{in}} \left( \sum_{i=1}^m \tilde{z}_{in} \cdot b_i \right) \right) = -\frac{2}{N} (x_n - \tilde{x}_n)^t \cdot b_i$$

$$\begin{aligned} \partial_{z_{in}} J_M &= -\frac{2}{N} \left( x_n - \sum_{i=1}^M z_{in} \cdot b_i \right)^t \cdot b_i = -\frac{2}{N} \left( x_n^t b_i - \underbrace{z_{in} \cdot b_i^t \cdot b_i}_{=1} \right) \\ &= -\frac{2}{N} (x_n^t b_i - z_{in}) \end{aligned}$$

$$\partial_{z_{in}} J_M = 0 \Rightarrow -\frac{2}{N} (x_n^t b_i - z_{in}) = 0 \rightarrow \boxed{z_{in} = b_i x_n^t}$$

los  $z_{in}$  son las coord. que vamos a encontrar para cada vector  $(b_i x_n^t)$

• buscamos ahora la base óptima:

$$\tilde{x}_n = \sum_{n=1}^M z_{nn} \cdot b_n = \sum_{n=1}^M (x_n^t b_n) b_n = \sum_{n=1}^M (b_n b_n^t) \cdot x_n$$

$$X = \left( \sum_{n=1}^M b_n b_n^t \right) \cdot X_n = \left( \sum_{j=M+2}^D b_j b_j^t \right) \cdot x_j$$

distancia (error) :  $X_m - \tilde{X}_m = \sum_{j=M+1}^D b_j b_j^t \cdot x_j = \sum_{j=M+1}^D (x_m^t \cdot b_j) \cdot b_j$

$$J_m = \frac{1}{N} \sum_n \|X_n - \tilde{X}_n\|^2 = \frac{1}{N} \cdot \sum_{n=1}^N \left\| \sum_{j=M+1}^D (x_n^t \cdot b_j) b_j \right\|^2$$

$$= \sum_{j=M+1}^D b_j^t \left( \frac{1}{N} \sum_{n=1}^N x_n \cdot x_n^t \right) \cdot b_j$$

S

$$= \sum_{j=M+1}^D b_j^t S b_j = \sum_{j=M+1}^D \text{tr}(b_j^t S b_j) = \sum_{j=M+1}^D \text{tr}(S b_j^t \cdot b_j)$$

$$= \text{tr} \left( \underbrace{\sum_{j=M+1}^D b_j b_j^t}_{\text{matriz de proyección}} \cdot S \right) \rightarrow \text{el error de reconstrucción se puede pensar como la matriz } S \text{ proyectada sobre el complemento ortogonal de } U.$$

A) reducir dimensiones:

$$\mathbb{R}^D \mapsto U + \Pi$$

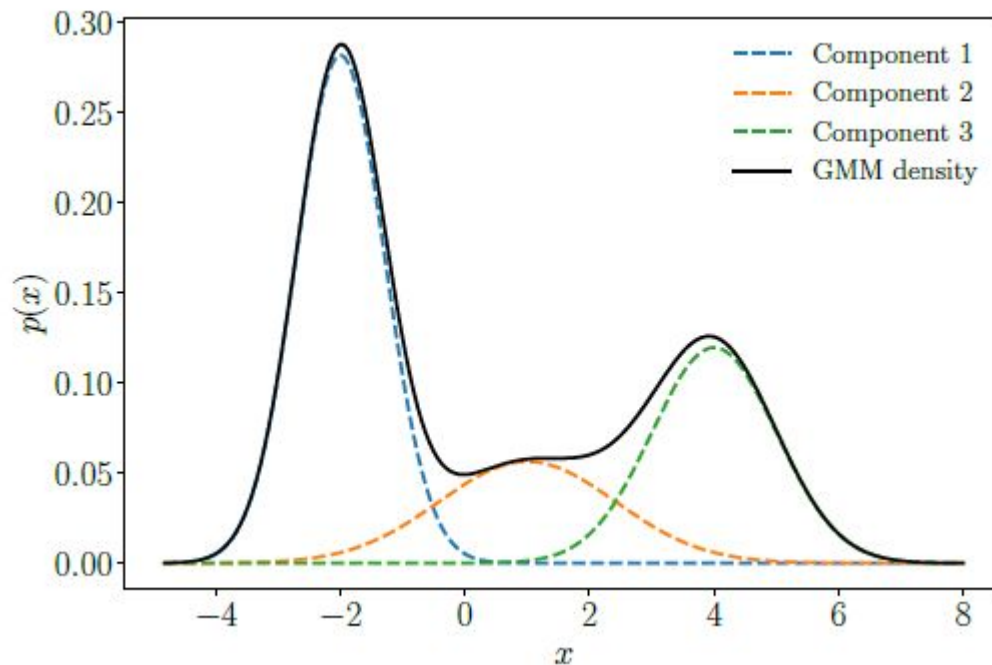
↳ subespacio  
explicado

↳ subespacio no  
explicado

para calcular PCA, nosotros podemos elegir maximizar  $U$  o minimizar  $\Pi$ .

## Formulación

$$p(x | \bar{\mu}, \bar{\Sigma}) = \sum_i \pi_i \mathcal{N}(x | \mu_i, \sigma_i^2)$$

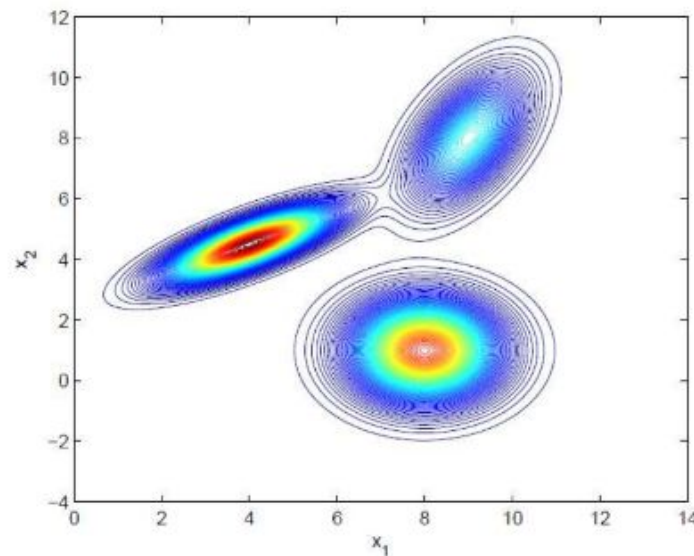
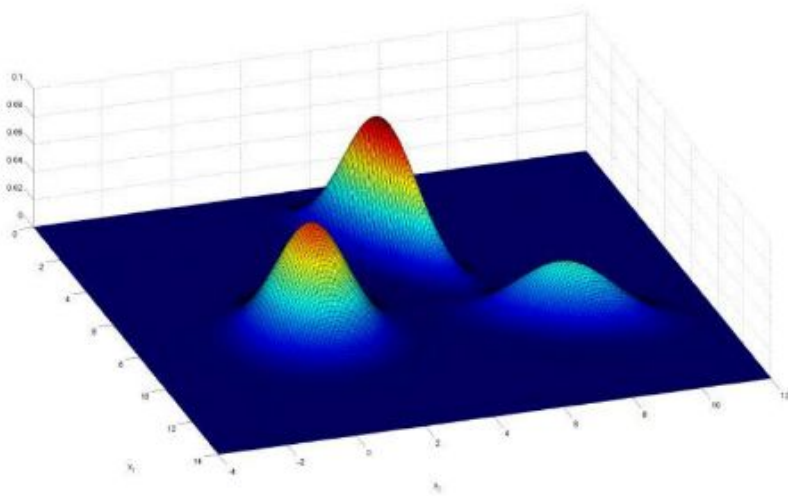


$$p(x | \theta) = 0.5\mathcal{N}(x | -2, \frac{1}{2}) + 0.2\mathcal{N}(x | 1, 2) + 0.3\mathcal{N}(x | 4, 1)$$

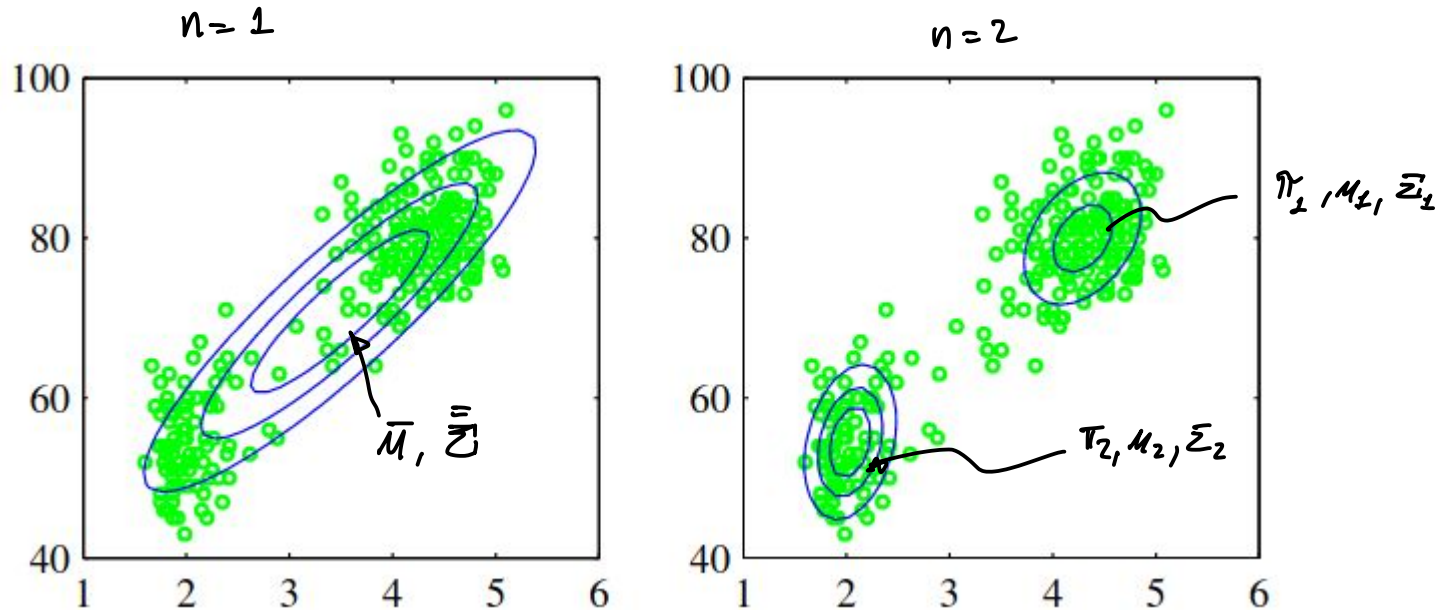


## Formulación

$$p(x) = \underbrace{0.3}_{\pi_1} \mathcal{N}\left(x \mid \underbrace{\begin{pmatrix} 4 \\ 4.5 \end{pmatrix}}_{\mu_1}, \underbrace{\begin{pmatrix} 1.2 & 0.6 \\ 0.6 & 0.5 \end{pmatrix}}_{\Sigma_1}\right) + \underbrace{0.5}_{\pi_2} \mathcal{N}\left(x \mid \underbrace{\begin{pmatrix} 8 \\ 1 \end{pmatrix}}_{\mu_2}, \underbrace{\begin{pmatrix} 1 & 0 \\ 0 & 1 \end{pmatrix}}_{\Sigma_2}\right) + \underbrace{0.2}_{\pi_3} \mathcal{N}\left(x \mid \underbrace{\begin{pmatrix} 9 \\ 8 \end{pmatrix}}_{\mu_3}, \underbrace{\begin{pmatrix} 0.6 & 0.5 \\ 0.5 & 1.5 \end{pmatrix}}_{\Sigma_3}\right)$$

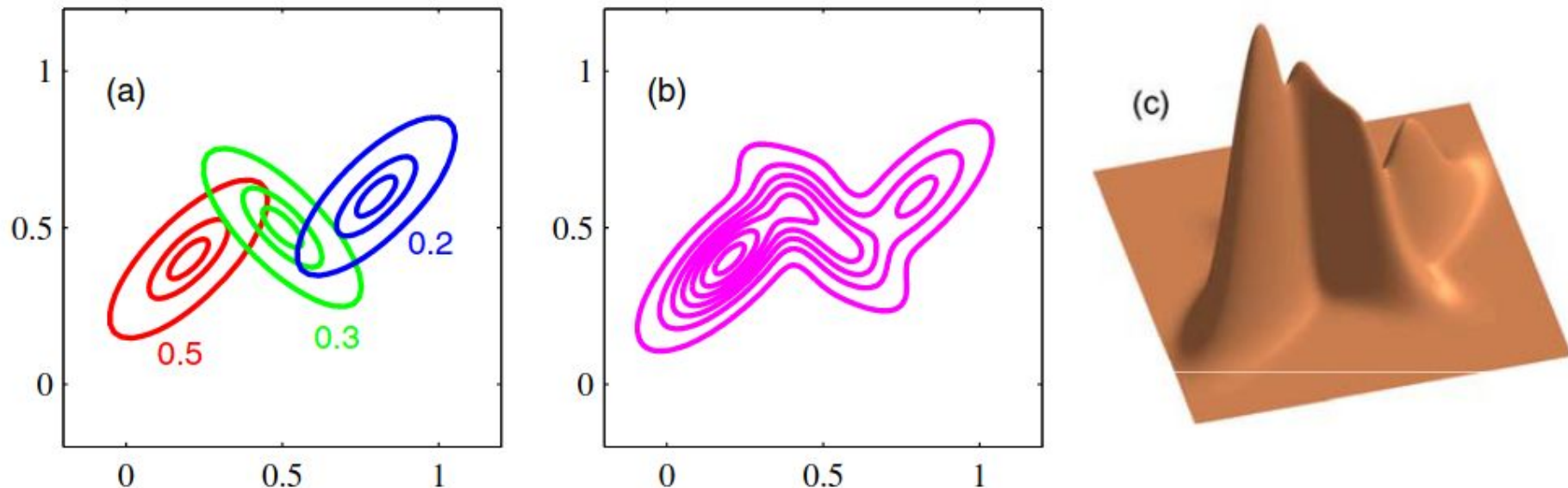


## Gaussian Mixture Models: Estudio de fenómenos naturales



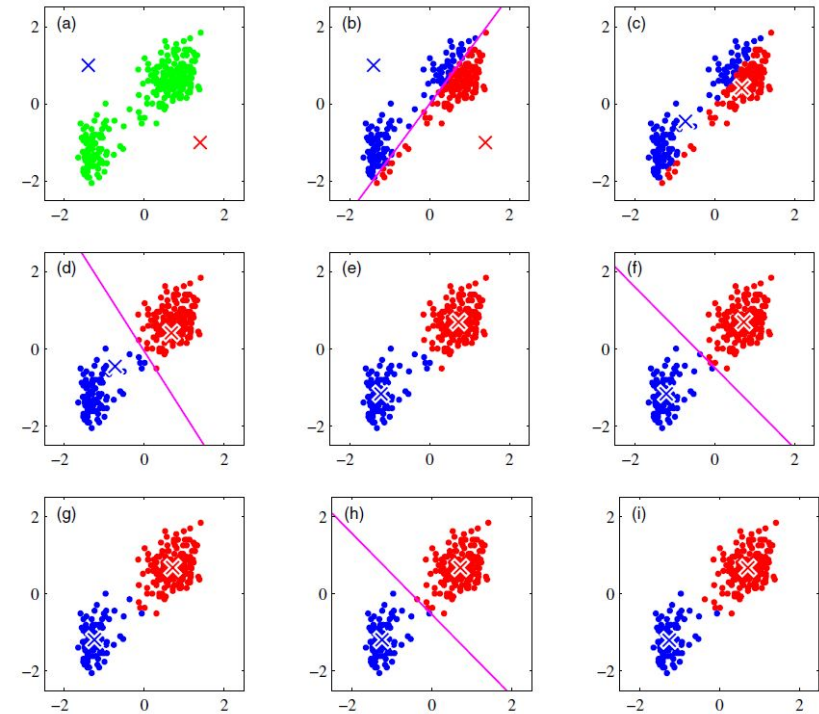
**“Old Faithful” dataset.** 272 mediciones de erupciones del “Old Faithful” geyser en el Parque Nacional Yellowstone. El eje horizontal representa la duración de una erupción (medida en minutos) y el vertical el tiempo hasta la próxima erupción.

## Gaussian Mixture Models: Clustering

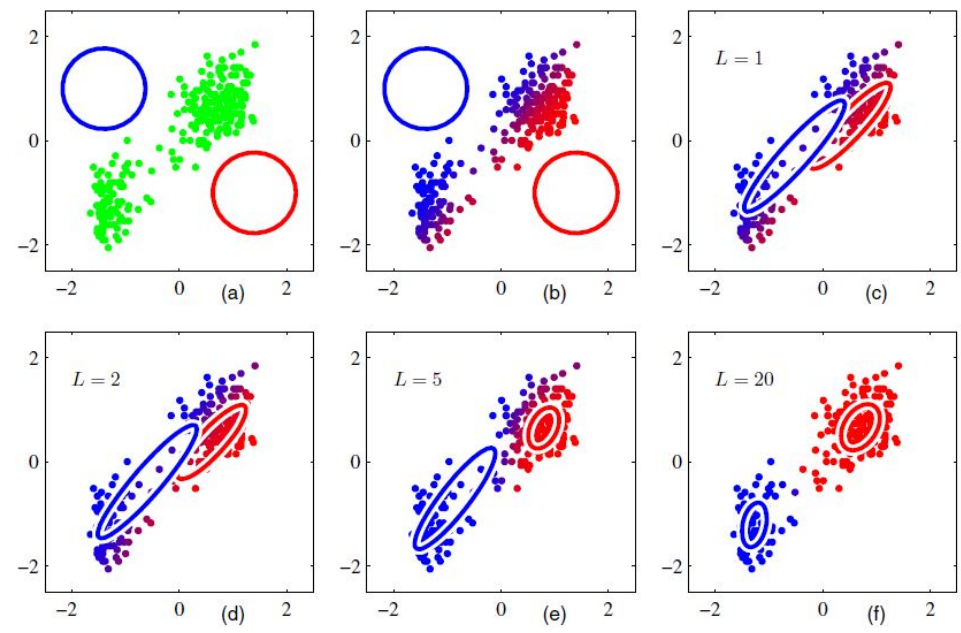
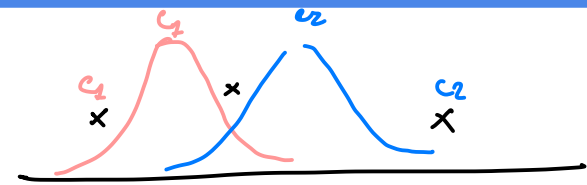


Ejemplo de Gaussian Mixture. En la imagen (a) se muestran las tres distribuciones subyacentes indicando con colores sus variables latentes. En la imagen (b) las curvas de nivel de la distribución conjunta y en la (c) la densidad.

## Gaussian Mixture Models: Clustering

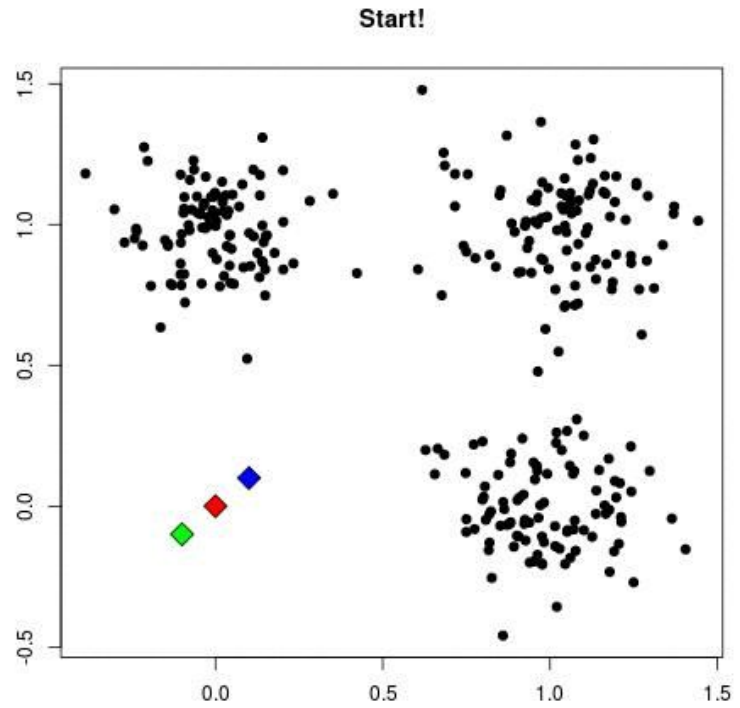


KMeans

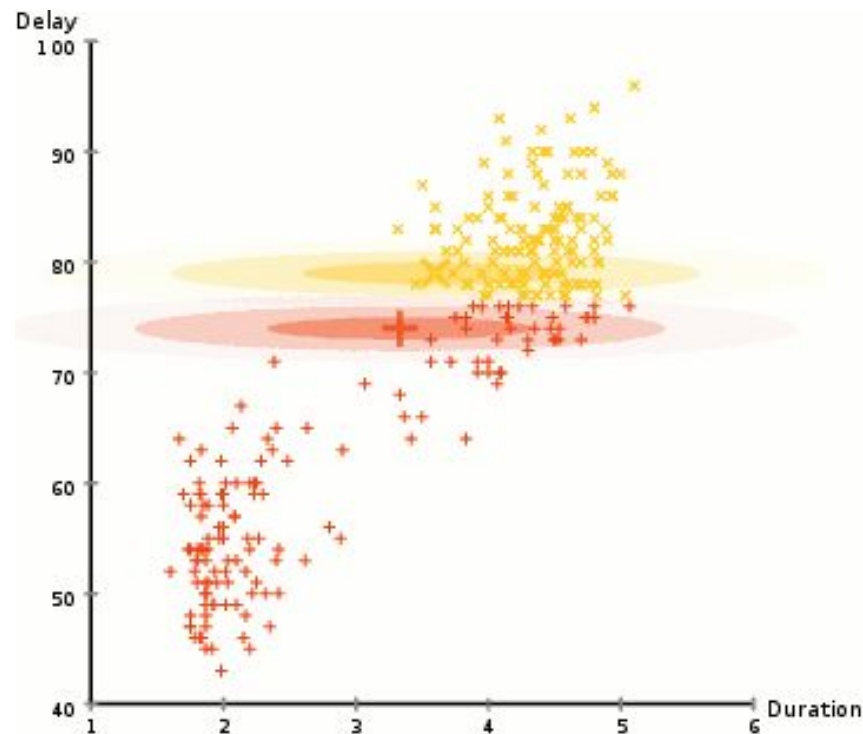


GMM

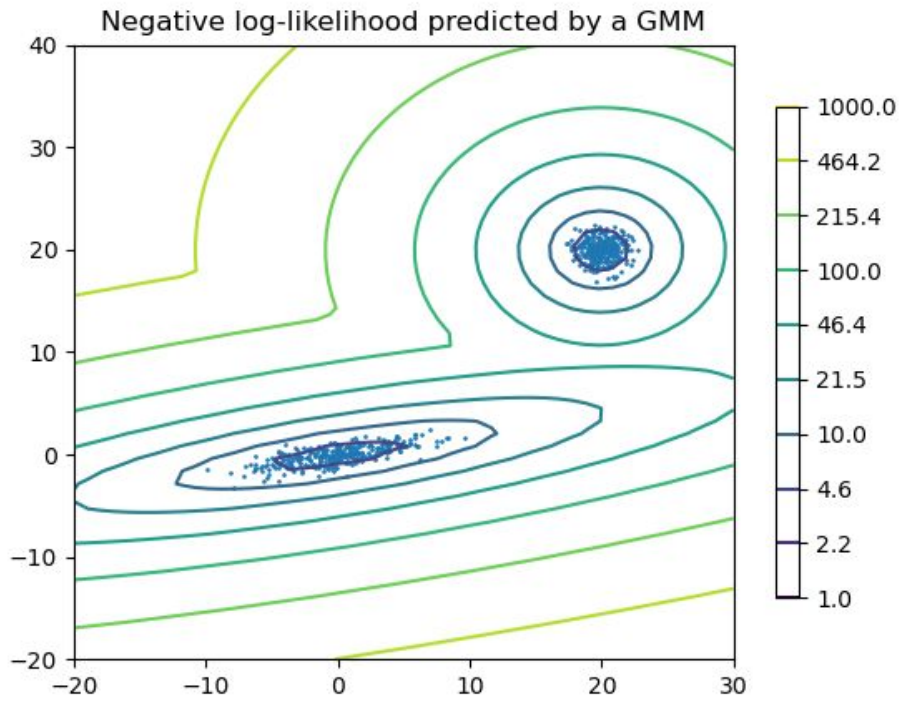
## Gaussian Mixture Models - kMeans



## Gaussian Mixture Models: Clustering

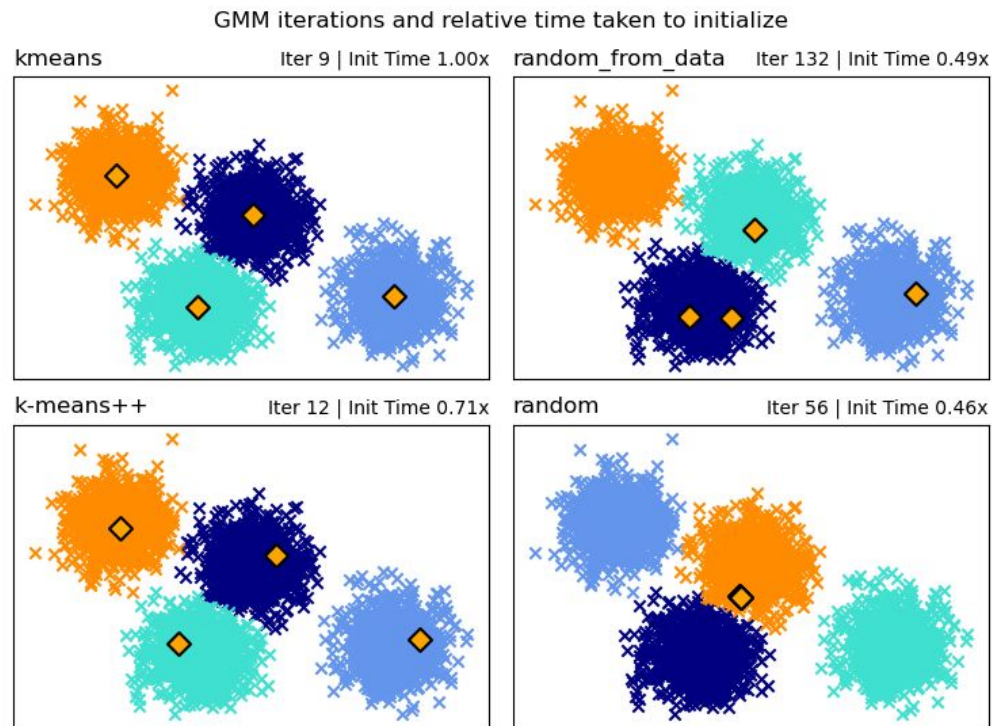


## Gaussian Mixture Models: Detección de anomalías





## Gaussian Mixture Models: Inicialización





## Formulación

$$p(\mathbf{x}) = \sum_{k=1}^K \pi_k p_k(\mathbf{x})$$

$$0 \leq \pi_k \leq 1, \quad \sum_{k=1}^K \pi_k = 1,$$

**Mixture Models - General**

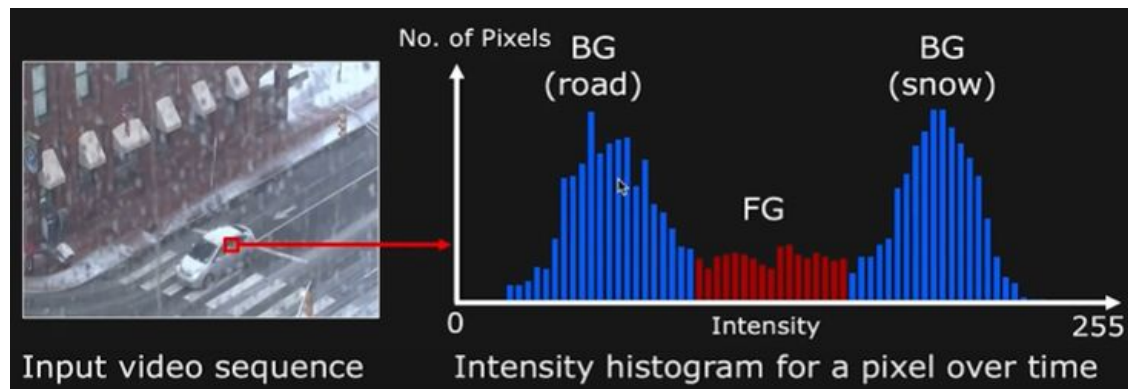
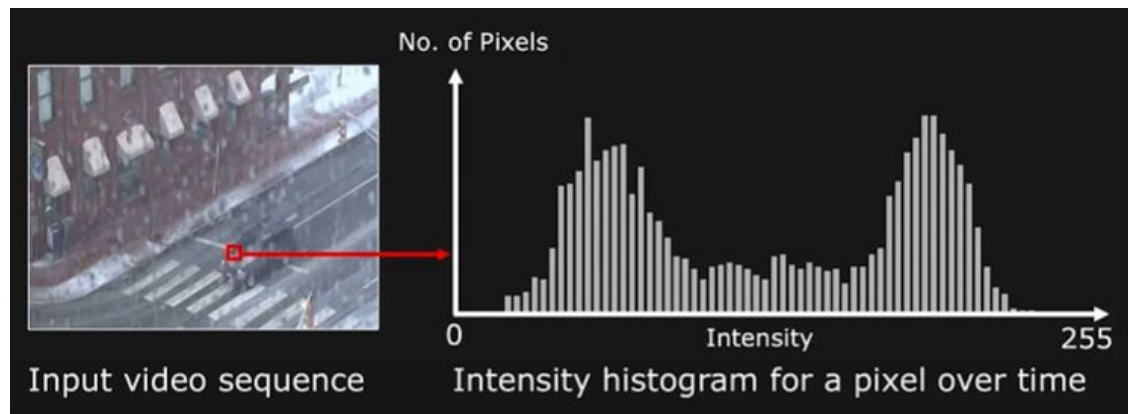
$$p(\mathbf{x} | \boldsymbol{\theta}) = \sum_{k=1}^K \pi_k \mathcal{N}(\mathbf{x} | \boldsymbol{\mu}_k, \boldsymbol{\Sigma}_k)$$

$$0 \leq \pi_k \leq 1, \quad \sum_{k=1}^K \pi_k = 1,$$

$$\boldsymbol{\theta} := \{\boldsymbol{\mu}_k, \boldsymbol{\Sigma}_k, \pi_k : k = 1, \dots, K\}$$

**Gaussian Mixture Models**

## Gaussian Mixture Models - Object Tracking



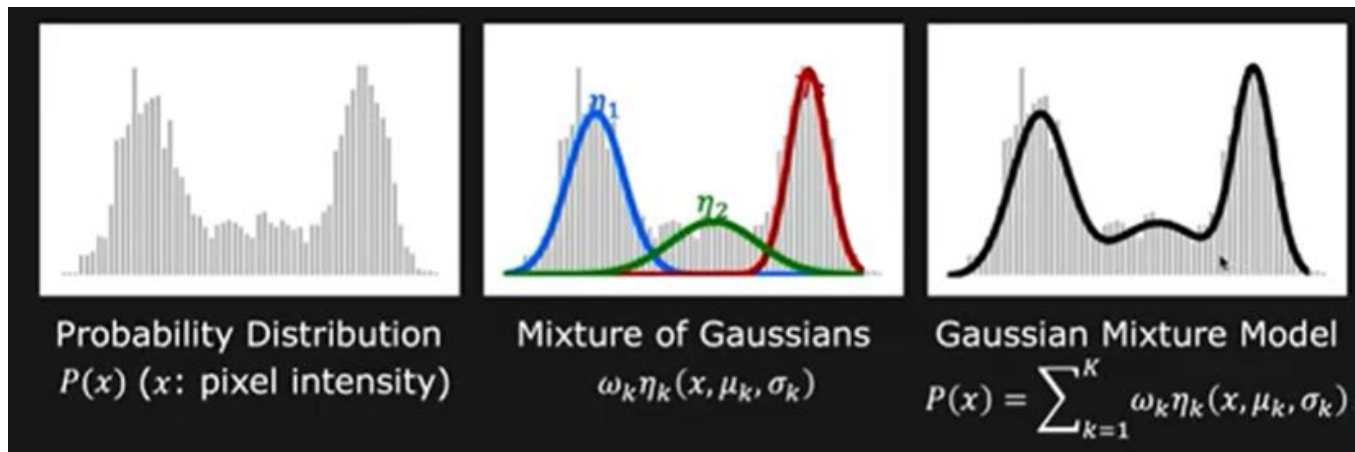
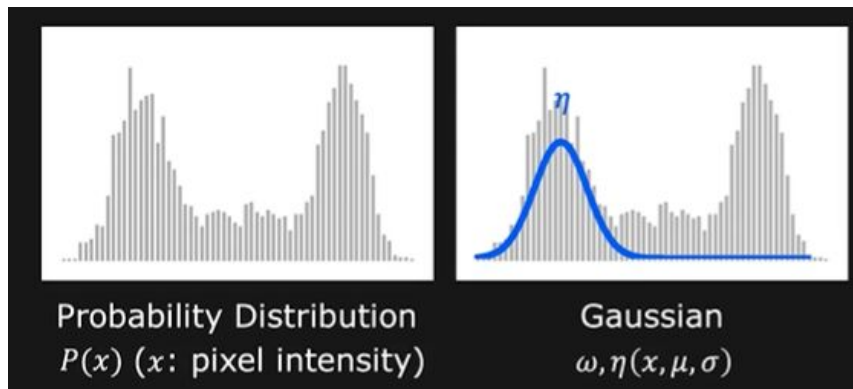
## Gaussian Mixture Models - Object Tracking

$$P(\mathbf{X}) \cong \sum_{k=1}^K \omega_k \eta_k(\mathbf{X}, \boldsymbol{\mu}_k, \boldsymbol{\Sigma}_k) \quad \text{such that} \quad \sum_{k=1}^K \omega_k = 1$$

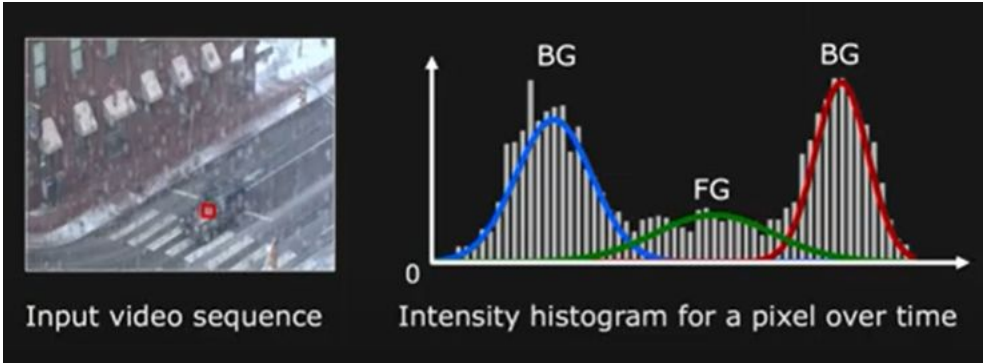
where:  $\eta(\mathbf{X}, \boldsymbol{\mu}, \boldsymbol{\Sigma}) = \frac{1}{(2\pi)^{D/2} |\boldsymbol{\Sigma}|^{1/2}} e^{-\frac{1}{2}(\mathbf{X}-\boldsymbol{\mu})^T (\boldsymbol{\Sigma})^{-1} (\mathbf{X}-\boldsymbol{\mu})}$

Mean  $\boldsymbol{\mu} = \begin{bmatrix} \mu_r \\ \mu_g \\ \mu_b \end{bmatrix}$  Covariance matrix  $\boldsymbol{\Sigma} = \begin{bmatrix} \sigma^2 & 0 & 0 \\ 0 & \sigma^2 & 0 \\ 0 & 0 & \sigma^2 \end{bmatrix}$  (can be a full matrix)

## Gaussian Mixture Models - Object Tracking

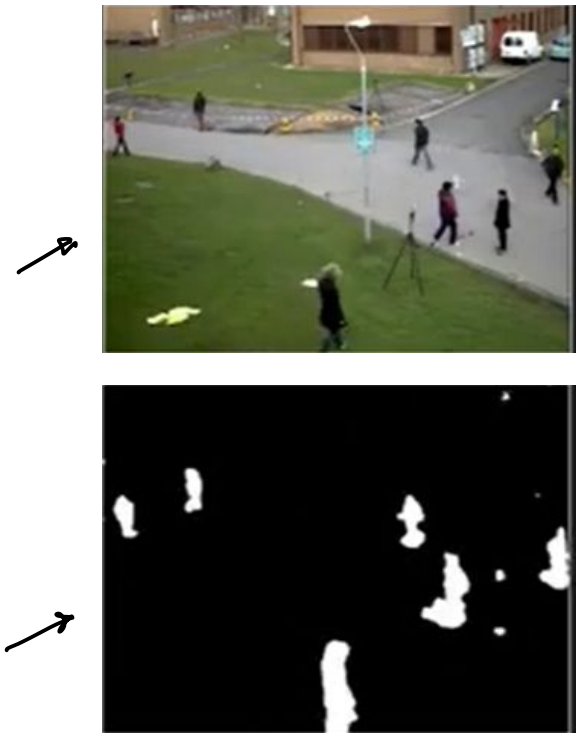


## Gaussian Mixture Models - Object Tracking



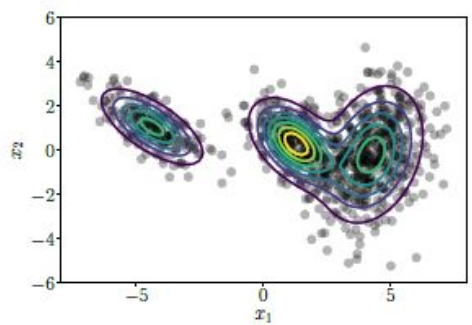
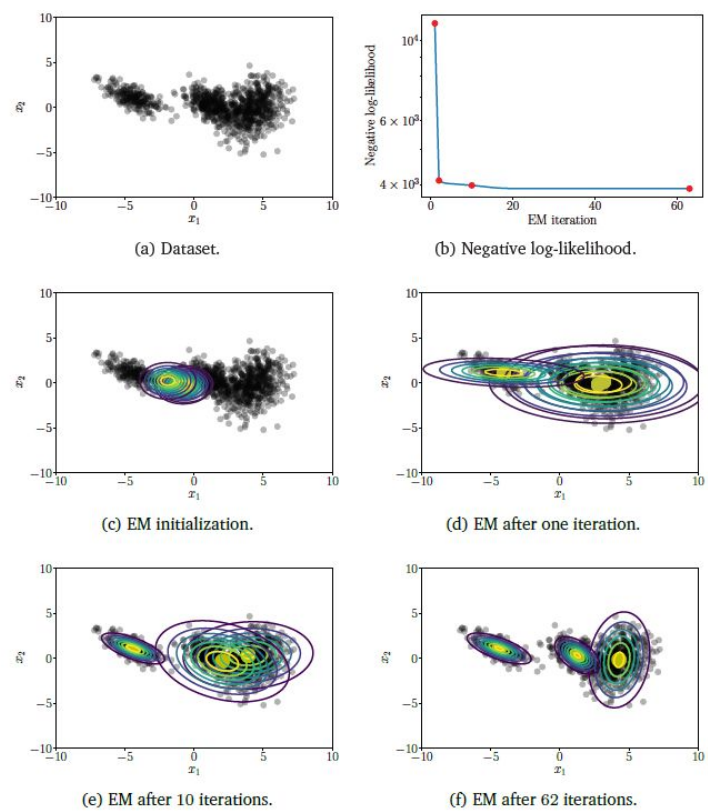
$$\begin{array}{c} \uparrow \\ \frac{\omega}{\sigma} \end{array} \quad \underline{\text{Background}} \quad \frac{\pi}{\|\Sigma\|^2}$$

$$\begin{array}{c} \downarrow \\ \frac{\omega}{\sigma} \end{array} \quad \underline{\text{Foreground}}$$

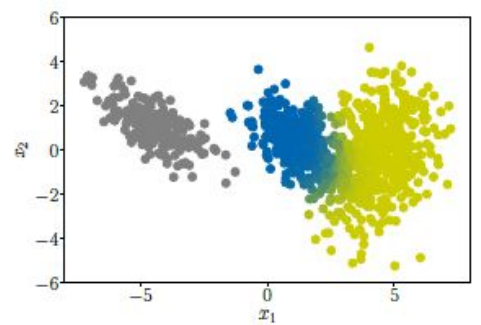


**GMM y EM - JAMBOARD**

## Gaussian Mixture Models - Teoría



(a) GMM fit after 62 iterations.



(b) Dataset colored according to the responsibilities of the mixture components.

## Notebooks



## Bibliografía

- Mathematics for Machine Learning | Deisenroth, Faisal, Ong
- Pattern Recognition and Machine Learning | Bishop
- Gaussian Mixture Model | John McGonagle, Geoff Pilling, Andrei Dobre
- Expectation-Maximization Algorithms | Stanford CS229: Machine Learning
- First Principles of Computer Vision | Computer Science Department, School of Engineering and Applied Sciences, Columbia University